

I²控制Buck变换器的一阶动力学分析

周群¹, 徐懿¹, 张金保², 宁佳¹, 曾雪洋¹

(1. 四川大学电气信息学院 成都 610065; 2. 国电光伏有限公司 江苏 宜兴 214203)

【摘要】通过降阶处理,建立了I²控制Buck变换器的一阶离散映射迭代模型,研究了该模型的非线性动力学行为。通过分析检测电阻R_s和误差放大器比例系数k₁为变量参数的分岔图,研究了系统从稳定周期1进入倍周分岔,从连续导电模式(CCM)鲁棒混沌进入断续导电模式(DCM)阵发混沌的动力学形为。通过R_s-V_o和k₁-V_o参数空间分析和离散迭代映射空间分析,得到了稳定性和工作模式的变化情况,验证了理论分析的正确性。

关 键 词 稳定分析; 混沌; 离散映射模型; 一阶模型; 开关DC-DC变换器

中图分类号 TM77 **文献标志码** A **doi:**10.3969/j.issn.1001-0548.2016.02.013

One-Dimensional Dynamic Analysis of I² Controlled Buck Converter

ZHOU Qun¹, XU Yi¹, ZHANG Jin-bao², NING Jia¹, and ZENG Xue-yang¹

(1. Institute of electrical information, Sichuan University Chengdu 610065; 2. GD SOLAR CO., LTD. Yixing Jiangsu 214203)

Abstract After dimension reduction, the I² controlled buck converter is studied and its one-dimensional discrete iterative map model is established in this paper. Based on the model, the nonlinear dynamic characteristics of the I² controlled buck converter is studied. Through the bifurcation analysis with the variations sensing resistance R_s and proportional coefficient k₁ of error amplifier, the operation states from the stable period-1 to the period-double bifurcation and from the robust chaos in continuous conduction mode (CCM) to the intermittent chaos in discontinuous conduction mode (DCM) are studied. Through analysis of R_s-V_o and k₁-V_o parameter spaces and discrete-time iterative mappings, the stability and operation mode transitions can be studied, the correctness of the theoretical analysis can be verified.

Key words analysis of stability; chaos; discrete map model; one-dimensional model; switched DC-DC converter

开关DC-DC变换器作为非线性时变系统的一种典型,运行状态非常复杂。近年来,通过对开关DC-DC变换器的非线性动力学研究,其非线性现象及其产生机理^[1-11]被人们所认识,为工程设计和应用提供了可靠的理论依据。

综合了峰值电流和平均电流控制^[5,8-12]的优点,文献[13]提出了I²平均电流控制技术,实现了快速、准确的电流控制。本文研究的I²控制实质为输出恒压的电流控制技术,控制电路采用一个电压外环反馈和两个电流内环反馈,进行三环反馈控制,其中两个电流反馈分别作为电流误差反馈信号和PWM调制信号。I²控制Buck变换器引入了电压误差反馈增益,使其能够控制输出电压,实现过压和欠压保护;引入了电感电流误差反馈增益,使其能够控制电感电流,实现过流保护;直接引入电感电流作为PWM

调制信号,使其具有较快的响应速度。

文献[13]提出I²控制Buck变换器拓扑,并建立了小信号等效模型,但没有对I²控制Buck变换器的非线性动力学特性进行研究。本文建立了I²控制Buck变换器一阶等效离散迭代模型,研究了其动力学特性。以检测电阻R_s和比例系数k₁作为变量参数,利用数值仿真软件MATLAB进行分岔分析^[6-11];通过工作状态域分析^[8-10],验证了分岔分析的正确性。

1 I²控制Buck变换器一阶模型

1.1 工作原理

图1a为I²控制Buck变换器的工作原理图,主电路上由输入电压源V_g、开关管S、二极管D、电感L、电容C(含等效串联电阻r)和负载R构成。

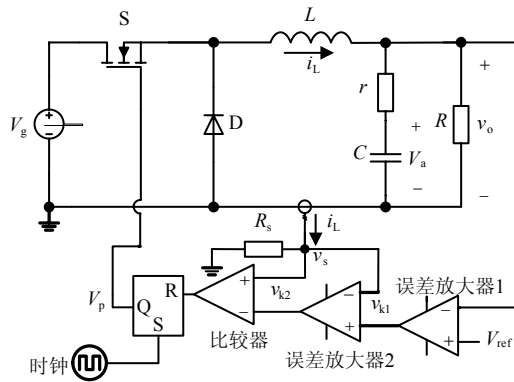
图1b为工作于CCM模式下I²控制Buck变换器的

收稿日期: 2015-04-09; 修回日期: 2015-09-26

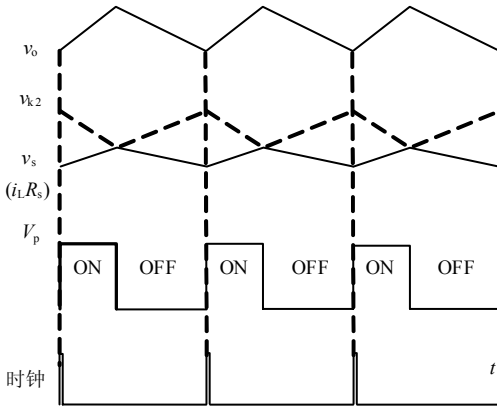
基金项目: 国家自然科学基金(51177140)

作者简介: 周群(1966-),女,博士,副教授,主要从事开关电管的动力学方面的研究。

稳态工作波形。输出电压 v_o 与基准电压 V_{ref} 经误差放大器1得到误差信号 v_{k1} , v_{k1} 与电感电流检测电阻 R_s 两端电压 v_s 经误差放大器2得到误差信号 v_{k2} , v_{k2} 与 v_s 通过比较器得到控制开关管S导通与关断的PWM信号。当 r 较大时, 输出电压纹波与电感电流纹波的变化趋势相同。在每一个开关周期开始时刻, 时钟信号使RS锁存器置位, 开关管S导通, 续流二极管D关断, 电感电流 i_L 和输出电压 v_o 上升。当 v_{k2} 与 v_s 相等时, 比较器输出高电平, 使锁存器复位, 开关管S关断, 二极管D导通, 输出电压 v_o 与电感电流 i_L 下降, 直到下一个时钟使开关管S导通。



a. 原理图

图1 I²控制Buck变换器

1.2 工作模式

为简化系统建模, 本文只考虑误差放大器的比例环节。当开关频率远高于Buck变换器的特征频率时, 可以认为在一个开关周期内电容电压 V_c 恒定, 即把 V_c 当作直流电压源。经简化处理, 原有的高阶系统等效为只含有电感电流一个状态变量的一阶系统。负载 R 往往远大于 r , r 上产生的电压纹波即为输出电压的纹波。由于 r 很小, i_L 在 r 上产生的电压较小, 可以近似认为输出电压平均值 V_o 等于输出电容电压 V_c 。把电容电压 V_c 和电感电流 i_L 分别看作给负

载供电的两个独立电源, 则输出电压 $v_o = V_a + i_L r$, 其中, $V_a = V_c R / (r + R)$ 。

图2给出了电感电流 i_L 纹波的一阶线性等效波形。开关管S导通时, i_L 线性上升; 开关管S关断时, i_L 线性下降。在不同的工作模式下, Buck变换器有不同的 i_L 波形。当Buck变换器工作于CCM模式时, i_L 始终大于零, 如图2a所示(其中 i_n 为上周期结束时的电感电流, I_k 为控制电流); 在DCM模式时, 如图2b所示, i_L 下降到零后将持续为零, 直到下一个时钟周期的开始。

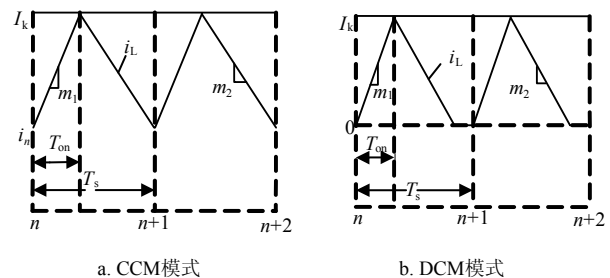


图2 电感电流纹波图

在开关管S导通和关断期间, 电感电流 i_L 的上升斜率 m_1 和下降斜率 m_2 分别为:

$$m_1 = \frac{V_g - V_o}{L}, \quad m_2 = \frac{V_o}{L} \quad (1)$$

1.3 开关切换条件

如图1a所示, 误差信号 v_{k1} 和 v_{k2} 分别为:

$$v_{k1} = k_1(V_{ref} - V_o) \quad (2)$$

$$v_{k2} = k_2(v_{k1} - v_s) \quad (3)$$

式中, k_1 和 k_2 是误差放大器1和误差放大器2的比例系数; $v_s = i_L R_s$ 。

当导通时间 T_{on} 小于时钟周期 T_s 时, v_{k2} 与 v_s 通过比较器得到翻转信号。在开关管S切换时有:

$$i_L R_s = v_{k2} \quad (4)$$

把 v_o 代入式(2), 结合式(2)~式(4), 可得开关切换条件为:

$$i_L = I_k = -\frac{k_1 k_2 (V_a - V_{ref})}{R_s + k_2 (R_s + k_1 r)} \quad (5)$$

式中, I_k 为开关状态切换时的电感电流, 即控制电流。当Buck变换器的电感电流 i_L 上升到 I_k 时, 开关状态发生切换。从式(5)可以看出, 控制电流 I_k 随电路参数变化而变化。

1.4 电感电流边界

在CCM模式下工作的I²控制Buck变换器, 只有一个电感电流边界 I_{bl} ; 处于DCM模式时, 有两个电感电流边界 I_{bl} 、 I_{b2} 。定义电感电流边界 I_{bl} 为开关

导通一个开关周期 T_s 后, 检测电阻 R_s 两端电压 v_s 与误差信号 v_{k2} 相等时, 开关周期开始时的电感电流, 如图3a所示; 定义电感电流边界 I_{b2} 为时钟周期结束时刻电感电流下降到零时, 时钟周期开始时的电感电流, 如图3b所示。

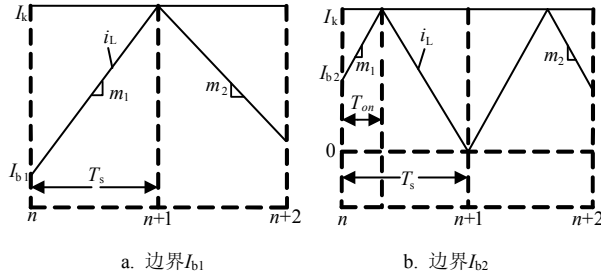


图3 电感电流边界

当导通时间 T_{on} 小于时钟周期 T_s 时, 结合式(5), 由两边界的定义可得:

$$I_{b1} = -m_1 T_s + \chi_1 (V_a - V_{ref}) \quad (6)$$

$$I_{b2} = -m_1 T_s + \chi_2 (V_a - V_{ref}) \quad (7)$$

式中,

$$\begin{aligned} \chi_1 &= -\frac{k_1 k_2}{R_s(k_2 + 1) + k_1 k_2 r} \\ \chi_2 &= -\frac{k_1 k_2 (m_1 + m_2)(V_a - V_{ref})}{(R_s + k_2 R_s + k_1 k_2 r)m_2} \end{aligned}$$

从式(6)和式(7)可以看出, I_{b1} 和 I_{b2} 随电路参数的变化而变化。

1.5 一阶离散迭代模型

采用频闪映射^[7]建立 I^2 控制Buck变换器的离散迭代模型。将 nT_s 时刻输出电压和电感电流的采样值设为 $v_n = v_o(nT_s)$ 和 $i_n = i_L(nT_s)$; $(n+1)T_s$ 时刻输出电压和电感电流的采样值设为 $v_{n+1} = v_o[(n+1)T_s]$ 和 $i_{n+1} = i_L[(n+1)T_s]$ 。在一个开关周期 T_s 内, 不同的条件下 I^2 控制Buck变换器存在不同的运行轨道:

1) 当 $i_n \leq I_{b1}$ 时, 在一个开关周期内, 开关管S一直导通, v_o 与 i_L 增大, 有:

$$i_{n+1} = i_n + m_1 T_s \quad (8)$$

$$v_{n+1} = V_a + ri_n + rm_1 T_s \quad (9)$$

2) 当 $I_{b1} < i_n < I_{b2}$ 时, Buck变换器工作于CCM模式。 i_L 上升到 I_k 时, 开关管S从导通状态进入关断状态, v_o 与 i_L 下降, 直到开关周期结束, 有:

$$i_{n+1} = i_L(nT_s + T_{on}) - m_2(T_s - T_{on}) \quad (10)$$

$$v_{n+1} = V_a + ri_L(nT_s + T_{on}) - rm_2(T_s - T_{on}) \quad (11)$$

3) 当 $I_{b2} \leq i_n < I_k$ 时, Buck变换器进入DCM工作模式, i_L 下降到零, v_o 下降到 V_a , 并维持到下一个开关周期的开始, 有:

$$i_{n+1} = 0 \quad (12)$$

$$v_{n+1} = V_a \quad (13)$$

4) 当 $i_n \geq I_k$ 时, 控制回路中比较器输出高电平, 锁存器不能被当前周期的时钟信号置位, 开关管S一直关断, i_L 、 v_o 一直下降, 有:

$$i_{n+1} = i_n - m_2 T_s \quad (14)$$

$$v_{n+1} = V_a + ri_n - rm_2 T_s \quad (15)$$

容易证明式(8)~式(15)在两个边界处是连续的。

2 分岔分析

基于 I^2 控制Buck变换器的离散迭代模型, 利用MATLAB数值仿真软件, 以检测电阻 R_s 和比例系数 k_1 为分岔参数, 研究 I^2 控制Buck变换器的动力学行为。电路参数为 $V_g = 7.5 \text{ V}$, $V_{ref} = 5 \text{ V}$, $L = 100 \mu\text{H}$, $C = 3000 \mu\text{F}$, $r = 0.05 \Omega$, $R = 3 \Omega$, $k_1 = 30$, $k_2 = 30$, $R_s = 0.1 \Omega$, $T_s = 50 \mu\text{s}$ 。

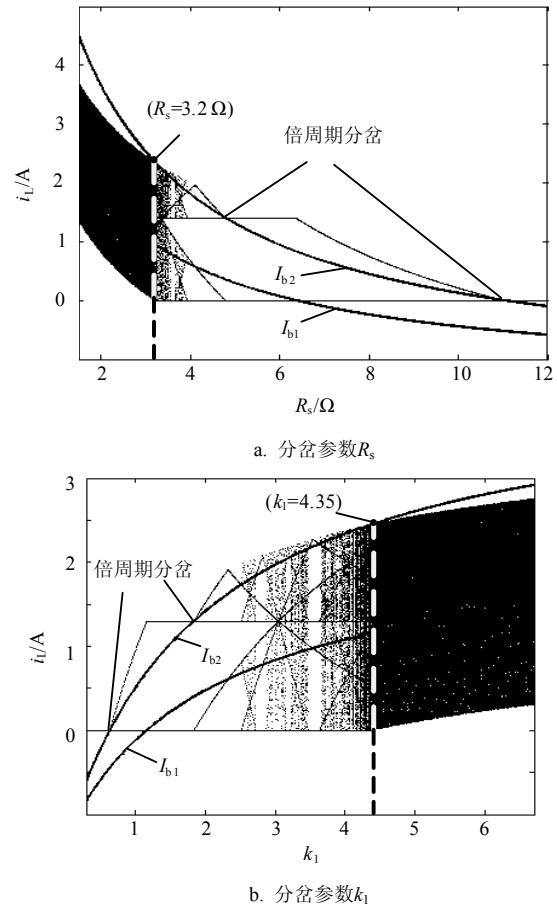
图4 R_s 和 k_1 为参数的分岔图

图4a为以检测电阻 R_s 为分岔参数的分岔图, $V_o = 4.7 \text{ V}$ 、 $R_s = 1.5 \sim 12 \Omega$ 。当 $R_s = 12 \Omega$ 时, Buck变换器运行在DCM工作模式。随着 R_s 的减小, 在 $R_s = 11 \Omega$ 时, Buck变换器的运行轨道与 I_{b2} 碰撞, Buck变换器从稳定周期1进入周期2运行轨道; 周期2运行轨道在 $R_s = 6.36 \Omega$ 时与 I_{b1} 碰撞折叠, 在

$R_s=4.79\Omega$ 时与边界 I_{b2} 碰撞分岔后, 形成周期4分岔运行轨道; 周期4运行轨道在 $R_s=4.11\Omega$ 时与 I_{b1} 碰撞折叠。随着 R_s 减小, 运行轨道形成DCM阵发混沌, 在 $R_s=3.2\Omega$ 时与边界 I_{b2} 碰撞, 形成CCM鲁棒混沌, $R_s=3.2\Omega$ 为混沌状态转变的分界点。

图4b为以误差放大器1比例系数 k_1 为分岔参数的分岔图, $V_o=4.9V$ 、 $k_1=0.3\sim6.7$ 。当 $k_1=0.3$ 时, 系统处于DCM工作模式。随着 k_1 的增大, 在 $k_1=0.64$ 时, 稳定的周期1运行轨道与边界 I_{b2} 发生碰撞, 形成周期2运行轨道; 周期2运行轨道在 $k_1=1.16$ 时与边界 I_{b1} 碰撞折叠, 在 $k_1=1.84$ 时与边界 I_{b2} 碰撞, 形成周期4运行轨道, 在 $k_1=2.33$ 时与边界 I_{b1} 碰撞折叠。随着 k_1 的增大, Buck变换器的运行轨道形成DCM阵发混沌, 在 $k_1=4.35$ 时与边界 I_{b2} 碰撞, 形成CCM鲁棒混沌, $k_1=4.35$ 为混沌状态转变的分界点。

从图4看出, 可以通过调节 I^2 控制Buck变换器控制回路中的 R_s 和 k_1 转变系统的运行状态。在一定的范围内, 减小 R_s 或者增大 k_1 可以使电路的运行状态由DCM阵发混沌转变为CCM鲁棒混沌; 增大 R_s 或者减小 k_1 可以使系统由混沌状态返回稳定运行状态。 I^2 控制与 V^2 控制比较, 多引入了电流控制。从混沌状态的变化特性可以看出, I^2 控制可以通过控制检测电阻 R_s 控制系统的状态变化, 拓宽系统的稳定性。

3 工作状态域分析

变换器的稳定性分析只有在 $I_{b2} > i_n > I_{b1}$ 时才有意义^[6,8-9]。根据 i_L 与 v_o 的关系, 可知系统只有 i_L 一个状态变量。由式(10)可得 I^2 控制Buck变换器的特征根为:

$$\lambda = \frac{\partial i_{n+1}}{\partial i_n} = -\frac{m_2}{m_1} \quad (16)$$

为了使 I^2 控制Buck变换器工作于周期1, 必须使 $|\lambda| < 1$ 。当 λ 从-1穿出此区域时, 系统发生倍周期分岔现象。 $\lambda=-1$ 时, 把式(1)代入式(16), 可得:

$$V_o = 0.5V_g \quad (17)$$

I^2 控制Buck变换器发生CCM至DCM的工作模式转移是由边界碰撞分岔行为所引起。从图4中两个分岔图也可以看出, 当运行轨道与边界 I_{b2} 发生碰撞时, 系统从DCM阵发混沌态进入CCM鲁棒混沌态。此时电感电流 i_L 处于最大值, 满足条件方程:

$$I_{b2} = i_{n,\max} = I_k \quad (18)$$

将式(5)、式(7)代入式(18), 可得:

$$(V_g - V_o) \frac{\eta_2 T_s + \eta_3 V_{\text{ref}} + \eta_4}{\eta_1} = 0 \quad (19)$$

式中,

$$\begin{aligned} \eta_1 &= L(R+r)(R_s V_o + k_2 R_s V_o + V_g k_1 k_2 - k_1 k_2 V_o) \\ \eta_2 &= V_o (R+r)(R_s + k_2 R_s) + V_o k_1 k_2 r (R+1) \\ \eta_3 &= -(R+r) k_1 k_2 L, \quad \eta_4 = k_1 k_2 L R V_o \end{aligned}$$

选取与分岔分析相同的参数, 由式(17)和式(19)确定的临界条件, 可以得到 R_s-V_o 和 k_1-V_o 为参数空间的参数域, 如图5所示。参数空间表明系统工作模式是随参数的变化而变化的。图5可以看出两条边界把系统的运行状态分为3个状态区域, 稳定周期1、CCM鲁棒混沌区和DCM阵发混沌区。由图5a可以看出, 当 $V_o=4.7V$ 时, $R_s=3.2\Omega$ 为图4a中DCM阵发混沌态与CCM鲁棒混沌态的分界点; 由图5b可得, 当 $V_o=4.9V$ 时, $k_1=4.35$ 为图4b中DCM阵发混沌态与CCM鲁棒混沌态的分界点。对比分析, 证明了分岔分析的正确性。

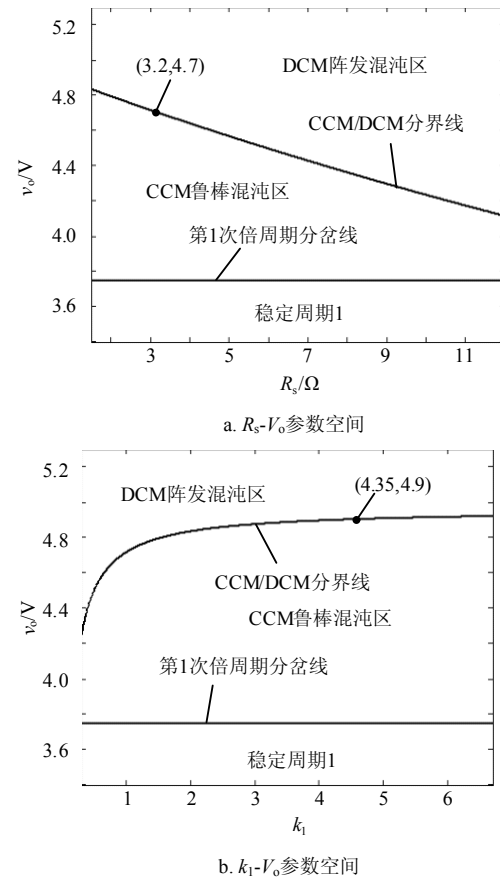


图5 工作状态域分布

选取 I^2 控制Buck变换器的输出电压 V_o 、检测电阻 R_s 和误差放大器1比例系数 k_1 为可变参数, 利用参数空间离散迭代映射图, 进行 I^2 控制Buck变换器的动力学研究。根据图4参数的选取, 分别选择两组

相同的参数变量, 变化范围为: $R_s = 1.5 \sim 12 \Omega$, $V_o = 3.4 \sim 5.3 \text{ V}$ 及 $k_1 = 0.3 \sim 6.7$, $V_o = 3.4 \sim 5.3 \text{ V}$ 。

由式(8)~式(15)所描述的 I^2 控制Buck变换器的离散迭代映射方程, 可得如图6a和图6b所示 $R_s - V_o$ 和 $k_1 - V_o$ 参数空间上的参数空间映射图。图6中, 使用不同的黑白灰度表示相应的周期数, 在两参数平面中绘映射点时, 用白色和灰度较浅区域表示低周期, 黑色和灰度较深区域表示高周期, 周期数越大则灰度越深。为了图象的清晰表达, 图6中给出了两条分界线划分不同状态的边界, CCM/DCM分界线以上为DCM阵发混沌区。对比图5和图6可以看出, 状态变化一致, 状态域分析正确。

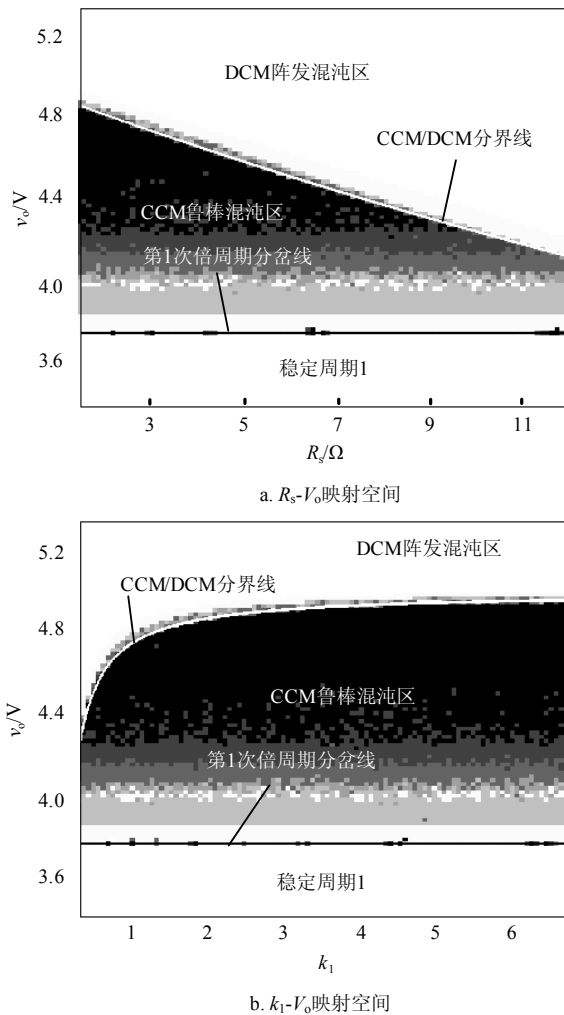


图6 离散迭代映射空间

4 结 论

基于 I^2 控制Buck变换器, 研究了其一阶等效动力学建模和分岔行为。通过MATLAB建模仿真, 进行了分岔分析; 根据离散迭代模型和边界碰撞情况, 分析了参数空间和离散迭代映射空间。

本文建立了以电感电流边界的一阶离散模型; 由动力学分析可得, 系统存在稳定周期1、周期2、周期4、CCM鲁棒混沌和DCM阵发混沌, 通过调节控制回路可以有效地调节系统的稳定性; 与 V^2 控制相比, I^2 控制可以通过调节电流反馈拓宽系统的稳定性。本文以 I^2 控制Buck变换器的工作原理出发研究其动力学形为, 对 I^2 控制Buck变换器的理论分析和优化设计有重要的理论与实践价值。

参 考 文 献

- [1] TSE C K, BERNARDO M D. Complex behavior in switching power converters[J]. Proceeding of IEEE, 2002, 90(5): 768-781.
- [2] BAO B, ZHOU G, XU J, et al. Unified classification of operation-state regions for switching converters with ramp compensation[J]. IEEE Transactions on Power Electronics, 2011, 26(7): 1968-1975.
- [3] MANDAL K, BANERJEE S, CHAKRABORTY C, et al. Bifurcations in frequency controlled load resonant DC-DC converters[C]//2012 IEEE International Symposium on Circuits and Systems. [S.1.]: IEEE, 2012: 1135-1138.
- [4] SAJID I, MASOOD A, SUHAIL A Q. Investigation of chaotic behavior in DC-DC converters[J]. Int Journal of Electrical, Computer and Systems Engineering, 2007, 3: 166-169.
- [5] GIAOURIS D, BANERJEE S, IMRAYED O, et al. Complex interaction between tori and onset of three-frequency quasi-periodicity in a current mode controlled Boost converter[J]. IEEE Transactions on Circuits and Systems I: Regular Papers, 2012, 59(1): 207-214.
- [6] 何圣仲, 周国华, 许建平, 等. V^2 控制Buck变换器等效建模与分岔分析[J]. 物理学报, 2013, 62(11): 110503.
HE Sheng-zhong, ZHOU Guo-hua, XU Jian-ping, et al. Equivalent modeling and bifurcation analysis of V^2 controlled buck converter[J]. Acta Physica Sinica, 2013, 62(11): 110503.
- [7] 张波, 李萍, 齐群. DC-DC变换器分叉和混沌现象的建模和分析方法[J]. 中国电机工程学报, 2002, 22(11): 81-86.
ZHANG Bo, LI Ping, QI Qun. Methods for analyzing and modeling bifurcations and chaos in DC-DC converter[J]. Proceedings of the CSEE, 2002, 22(11): 81-86.
- [8] 包伯成, 周国华, 许建平, 等. 斜坡补偿电流模式控制开关变换器的动力学建模与分析[J]. 物理学报, 2010, 59(6): 3769-3777.
BAO Bo-cheng, ZHOU Guo-hua, XU Jian-ping, et al. Dynamical modeling and analysis of current mode controlled switching converter with ramp compensation[J]. Acta Physica Sinica, 2010, 59(6): 3769-3777.
- [9] 包伯成, 杨平, 马正华, 等. 电路参数宽范围变化时电流控制开关变换器的动力学研究[J]. 物理学报, 2012, 61(22): 220502.

- BAO Bo-cheng, YANG Ping, MA Zheng-hua, et al. Dynamics of current controlled switching converters under wide circuit parameter variation[J]. *Acta Physica Sinica*, 2012, 61(22): 220502.
- [10] YESODHA V, KAVIPRIYA R, JOSHNA T S, et al. Analysis of chaos and bifurcation in DC-DC converter using matlab[C]//2013 International Conference on Circuits, Power and Computing Technologies. [S.1.]: [s.n.], 2013: 481-487.
- [11] 向俊杰, 毕闻, 向勇, 等. 峰值电流模式控制同步开关Z源变换器的动态研究[J]. 物理学报, 2014, 63(12): 120507.
- XIANG Jun-jie, BI Chuang, XIANG Yong, et al. Dynamical study of peak-current-mode controlled synchronous switching Z-source convertver[J]. *Acta Physica Sinica*, 2014, 63(12): 120507.
- [12] 周国华, 许建平. 开关变换器调制与控制技术综述[J]. 中国电机工程学报, 2014, 34(6): 815-831.
- ZHOU Guo-hua, XU Jian-ping. A Review of modulation and control techniques for switching converters[J]. *Proceedings of the CSEE*, 2014, 34(6): 815-831.
- [13] YING Y Y, FRED C L, PAOLO M, et al. I^2 average current mode control for switching converters[J]. *IEEE Transactions on Power Electronics*, 2014, 29(4): 2027-2036.

编 辑 漆 蓉

(上接第381页)

- [7] LIN Q G. Infinite integrals involving Bessel functions by contour integration[J]. *Integral Transforms and Special Functions*, 2013, 24(10): 783-795.
- [8] CHEN Ru-yun, AN Cong-pei. On evaluation of Bessel transforms with oscillatory and algebraic singular integrands[J]. *Journal of Computational and Applied Mathematics*, 2014, 264: 71-81.
- [9] BARICZ A, POGANY T. On a sum of modified Bessel functions[J]. *Mediterranean Journal of Mathematics*, 2014, 11(2): 349-360.
- [10] NICULESCU C, POPOVICI F. The asymptotic behavior of integrable functions[J]. *Real Analysis Exchange*, 2012, 38(1): 157-168.
- [11] XIANG Shu-huang. Laplace transforms for approximation of highly oscillatory Volterra integral equations of the first kind[J]. *Applied Mathematics and Computation*, 2014, 232: 944-954.
- [12] GIULIANO R, MACCI C. Large deviation principles for sequences of maxima and minima[J]. *Communications in Statistics-Theory and Methods*, 2014, 43(6): 1077-1098.
- [13] KOWALENKO V. Exactification of the asymptotics for Bessel and Hankel functions[J]. *Applied Mathematics and Computation*, 2002, 133(2): 487-518.
- [14] CORMEN T H, LEISERSON C E, RIVEST R L, et al. *Introduction to algorithms*[M]. 3rd ed. Beijing: China Machine Press, 2013: 16-21.
- [15] 王志刚, 罗清旺, 师奕兵. 铁磁性管道内涡流线圈耦合分析与管道参数检测[J]. *仪器仪表学报*, 2014, 35(12): 2843-2851.
- WANG Zhi-gang, LUO Qing-wang, SHI Yi-bing. Analysis of eddy current coil coupling in ferromagnetic pipe and parameter detection[J]. *Chinese Journal of Scientific Instrument*, 35(12): 2843-2851.
- [16] 仇海亮. 复宗量贝塞尔函数的数值解法及在测井解释中的应用[J]. *中国石油和化工标准与质量*, 2013(17): 128.
- QIU Hai-liang. Numerical solution of complex argument Bessel function and its application in the log interpretation[J]. *China Petroleum and Chemical Standard and Quality*, 2013(17): 128.

编 辑 漆 蓉